

## ارزیابی ۲۴ مدل تبخیر و تعرق گیاه مرجع در اقلیم‌های مختلف ایران

حليمه پیری<sup>۱\*</sup>، محمدطاهر پوزن<sup>۲</sup>

۱. استادیار، گروه مهندسی آب، دانشکده آب و خاک، دانشگاه زابل
۲. دانشجوی کارشناسی ارشد، گروه مهندسی آب، دانشکده آب و خاک، دانشگاه زابل

(تاریخ دریافت ۱۳۹۷/۱۱/۲۰؛ تاریخ تصویب ۱۳۹۸/۰۳/۱۳)

### چکیده

روش‌های مختلفی برای تخمین تبخیر و تعرق وجود دارد که عملکردشان در شرایط اقلیمی گوناگون، متفاوت است. هدف از تحقیق حاضر، بررسی روش‌های مختلف تبخیر و تعرق گیاه مرجع در اقلیم‌های مختلف ایران و اعتبارسنجی این روش‌ها با روش فائق-پمن - مانیث است. برای انجام کار از داده‌های هواشناسی ساله ۳۰ (۱۹۸۸-۲۰۱۷) نه شهر کشور (شهرکرد، ارومیه، مشهد، زاهدان، بندرعباس، اهواز، گرگان، رشت و ساری) استفاده شد. ابتدا تبخیر و تعرق مرجع به روش فائق-پمن - مانیث به صورت روزانه به دست آمد. سپس، مقادیر تبخیر و تعرق مرجع با ۲۴ روش دیگر نیز محاسبه شد و با استفاده از شاخص‌های آماری جذر میانگین مربعات خطأ (RMSE)، میانگین خطای مطلق (MAE)، نسبت میانگین (MR) و درصد خطای تخمین (PE) با روش فائق-پمن - مانیث مقایسه شدند. نتایج نشان داد در اقلیم سرد و نیمه‌خشک، سرد و معتدل، گرم و خشک، سرد و خشک و گرم و مرطوب به ترتیب شامل شهرهای ارومیه، شهرکرد، زاهدان، مشهد و اهواز مدل مک‌کینگ اصلاح شده، در اقلیم گرم و مرطوب بندرعباس مدل والیانتراس ۵ و در اقلیم‌های مدیترانه‌ای، نیمه‌مرطوب و مرطوب شامل شهرهای گرگان، ساری و رشت مدل دروگرز و آلن برآورد بهتر و نزدیک‌تری به روش فائق-پمن - مانیث داشتند. با توجه به امتیازهای داده شده به هر روش براساس شاخص ارزیابی MAE و RMSE، مدل‌های مک‌کینگ اصلاح شده، دروگرز و آلن، والیانتراس و هارگریوز سامانی و براساس شاخص PE مدل‌های دروگرز و آلن، مک‌کینگ اصلاح شده، والیانتراس و هارگریوز سامانی به عنوان مدل برتر انتخاب شدند.

**کلیدواژگان:** تبخیر و تعرق، فائق-پمن - مانیث، مدل‌های تجربی.

مدل انجام می‌شود [۳]. در مطالعاتی که توسط محققان در نقاط مختلف جهان صورت گرفته، این مدل به عنوان دقیق‌ترین روش تحت شرایط آب‌وهوایی مختلف ارائه و معروف شده است. همچنین، برای واسنجی مدل‌های دیگر از این مدل بهره برده شده است [۴ و ۵] در تحقیقی که برای تعیین نیاز آبی گیاه نخود در لرستان انجام شد، از بین روش‌های تجربی ارائه شده، روش فائق-پمن-مانتیث بیشترین نزدیکی را به داده‌های لایسیمتری داشت و به عنوان روش برتر انتخاب شد [۶]. به هر حال، برای حل مدل فائق-پمن-مانتیث نیاز به اطلاعات زیادی است که یا در هر ایستگاه هواشناسی اندازه‌گیری نمی‌شوند، یا در بسیاری از دشت‌های در حال توسعه ایستگاه هواشناسی وجود ندارد. بنابراین، استفاده از مدل‌هایی که نیاز به اطلاعات هواشناسی کمتری دارند، برای مناطقی که کمبود یا نقص اطلاعات دارند، ضروری است. بنابراین، تحقیقات زیادی در خصوص واسنجی مدل‌های تجربی در مقایسه با نتایج مدل فائق-پمن-مانتیث و ارائه نوعی مدل ساده با دقت قابل قبول انجام شده است. تعداد ۱۶ مدل برآورد تبخیر و تعرق با نتایج مدل فائق-پمن-مانتیث در دره رودخانه سنگال بررسی شد [۷]. نتایج پژوهش یادشده نشان داد والیانتراس، ترابرت، رمانکو، اسکندر و ماهرینگر مدل‌های مناسبی در منطقه مطالعه شده هستند. چند مدل تبخیر و تعرق با نتایج نشت تبخیر در حوضه آبخیز شرق و جنوب شرق کشور ارزیابی شد. نتایج تحقیق یادشده نشان داد مدل هارگریوز سامانی، بلانی کریدل و تورک مناسب‌ترین مدل‌ها در محل پژوهش اند [۸]. همچنین، دقت چهار مدل تبخیر و تعرق در چهار اقلیم مختلف بررسی شد و نتیجه گرفته شد که در اقلیم سرد و خشک مدل تورک و در اقلیم مرطب و نیمه‌خشک مدل هارگریوز بهترین برآورد را از تبخیر و تعرق مرجع دارد [۹]. مهدی‌زاده و همکاران (۱۳۹۷) دقت پنج مدل رابطه والیانتراس را در برآورد تبخیر و تعرق گیاه مرجع در شمال غرب ایران بررسی کردند. نتایج مطالعه آنها نشان داد رابطه والیانتراس ۲ بهترین روش در برآورد تبخیر و تعرق گیاه مرجع در منطقه مطالعه شده است [۱۰]. تحقیقات نشان داد مدل والیانتراس عملکرد مطلوبی در مناطق ساحلی شمال ایران دارد [۱۱]. دو مدل والیانتراس با مدل فائق-پمن-مانتیث در هشت ایستگاه در مناطق ساحلی بورکینافاسو ارزیابی شد. نتایج پژوهش یادشده نشان داد رابطه والیانتراس با داده‌های اقلیمی کامل تطابق خوبی با داده‌های

## مقدمه

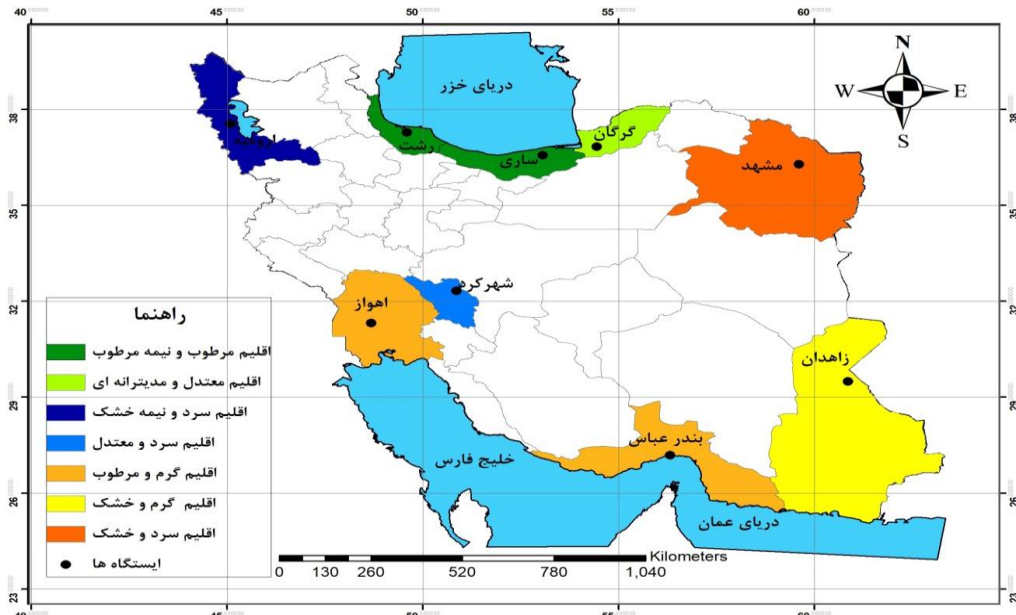
تبخیر و تعرق گیاه مرجع یکی از مؤلفه‌های مهم چرخه هیدرولوژی است که تخمین دقیق آن برای مدیریت بهینه منابع آب لازم است. تخمین میزان دقیق تبخیر و تعرق گیاه مرجع نه تنها در برنامه‌ریزی آبیاری و تعیین دوره آبیاری بلکه در مطالعات مربوط به مدل‌سازی بیلان آب هر ناحیه اهمیت زیادی دارد. افزون بر این، تبخیر و تعرق گیاه مرجع در تأمین نیاز آبی گیاهان، برنامه‌ریزی دقیق آبیاری و مطالعه بیلان آب مخازن، ضرورت دارد. تبخیر و تعرق گیاه مرجع تابعی از عوامل مختلف هواشناسی نظیر دمای هوا، رطوبت نسبی، سرعت باد و تابش خورشیدی است [۱]. با توجه به تأثیر عوامل مختلف در تعیین تبخیر و تعرق گیاه مرجع، برآورد دقیق این پارامتر اگر غیرممکن نباشد، کار بسیار مشکلی است. مقدار تبخیر و تعرق را می‌توان به صورت مستقیم با استفاده از لایسیمتر و یا غیرمستقیم با استفاده از روابط تجربی اندازه‌گیری کرد. در روش مستقیم در واقع بخش کوچک و کتترل شده‌ای از مزرعه مجرزا شده و میزان تبخیر و تعرق در یک دوره زمانی مستقیم اندازه‌گیری می‌شود. به این بخش کوچک که ارتباط رطوبتی با خاک اطراف ندارد، لایسیمتر گویند. لایسیمتر اندازه‌گیری نسبتاً دقیقی از میزان تبخیر و تعرق ارائه می‌دهد، اما در عمل کارگذاری آن هزینه‌های زیادی به دنبال دارد و صرفه اقتصادی آن کم است. در روش‌های غیرمستقیم از عوامل مختلف اقلیمی و گیاهی استفاده شده و از طریق ارتباط آن‌ها با تبخیر و تعرق و معادلاتی که قبلًا با روش‌های مستقیم واسنجی شده‌اند، میزان تبخیر و تعرق گیاه مرجع تخمین زده می‌شود. تا کنون روش‌های زیادی مبتنی بر داده‌های هواشناسی برای شرایط مختلف جغرافیایی و اقلیمی با هدف تعیین تبخیر و تعرق مراجع تدوین شده است که تفاوت عمده آنها در تعداد پارامترهای هواشناسی مورد نیاز است [۲]. این مدل‌ها در عین سادگی استفاده، دو مشکل عمده دارند: نخست اینکه این مدل‌ها عمومیت ندارند و باید برای هر منطقه واسنجی و صحبت‌سنجی شوند. به بیان دیگر، در شرایط خاص توسعه یافته‌اند. دوم اینکه برخی از این مدل‌ها به اطلاعات زیادی نیاز دارند که در همه ایستگاه‌های هواشناسی، اندازه‌گیری نمی‌شوند. معمولاً در سراسر دنیا از روش فائق-پمن-مانتیث به عنوان روش نزدیک به لایسیمتر استفاده می‌کنند و واسنجی مدل‌های تجربی تبخیر و تعرق با نتایج به دست آمده از این

تعرق برای چند اقلیم مختلف ایران و ارائه مدلی است که نزدیکترین برآورد را به مدل فائو-پنمن-مانتیث دارد.

### مواد و روش‌ها

برای انجام تحقیق حاضر از پارامترهای هواشناسی روزانه در دوره آماری ۳۰ ساله (۱۳۹۶-۱۳۶۷) نه شهر کشور با اقلیم‌های مختلف (طبق شاخص آمبرژه) شامل ارومیه (سرد و نیمه خشک)، شهرکرد (سرد و معتدل)، اهواز و بندرعباس (گرم و مرطوب)، مشهد (سرد و خشک)، زاهدان (گرم و خشک)، رشت و ساری (مرطوب و نیمه مرطوب) و گرگان ( مدیترانه‌ای) استفاده شد. شکل ۱ موقعیت ایستگاه‌های مطالعه‌شده را نشان می‌دهد.

مدل فائو-پنمن-مانتیث به عنوان رابطه استاندارد داشت [۱۲]. دانشمندان به ارزیابی روش‌های تبخیر و تعرق در منطقه ناوی سد صربستان پرداختند و اعلام داشتند که معادله پایه پنمن می‌تواند جایگزین مناسبی برای معادله فائو-پنمن-مانتیث باشد [۳]. معادله تورک در شرایط محدود بودن داده‌های هواشناسی برای به دست آوردن تبخیر و تعرق مرجع در جنوب شرقی ایالت متحده آمریکا معرفی شده است [۱۲ و ۱۳]. از آنجا که تخمین تبخیر و تعرق اهمیت زیادی در مهندسی منابع آب دارد و داده‌های لایسیمتری نیز در بسیاری از مناطق و اقلیم‌های مختلف ایران در دسترس نیست، ارزیابی دقیق معادلات ارائه شده براساس منطقه و اقلیم می‌تواند تأثیر زیادی در مدیریت منابع آب داشته باشد. بنابراین، هدف از انجام تحقیق حاضر، مقایسه دقیق ۲۴ مدل مختلف تبخیر و



شکل ۱. مناطق و اقلیم‌های مطالعه‌شده

- (mm day<sup>-1</sup>) ET<sub>0</sub>: تبخیر و تعرق مرجع  
 (MJ m<sup>-2</sup> day<sup>-1</sup>) Rn: تابش خالص ورودی به سطح گیاه  
 (MJ m<sup>-2</sup> day<sup>-1</sup>) G: شار گرمای خاک  
 (°C) T<sub>mean</sub>: میانگین دمای هوای روزانه  
 (m s<sup>-1</sup>) U<sub>2</sub>: میانگین روزانه سرعت باد در ارتفاع دو متری از سطح زمین  
 (KPa<sub>a</sub>) e<sub>s</sub>: فشار بخار اشباع  
 (KPa<sub>a</sub>) ea: فشار بخار واقعی  
 (KPa) es-ea: کمبود فشار بخار اشباع  
 (KPa<sup>0</sup> C<sup>-1</sup>) Δ: شبی منحنی فشار بخار اشباع

روابط تجربی برآورد تبخیر و تعرق مرجع به علت نبود داده‌های لایسیمتری از روش فائو-پنمن-مانتیث برای ارزیابی و اعتبارسنجی مدل‌ها استفاده شد. بنابراین، ابتدا داده‌های روزانه تبخیر و تعرق مرجع به روش فائو-پنمن-مانتیث محاسبه شد و سپس مقادیر تبخیر و تعرق با معادلات و مدل‌های ارائه شده در جدول ۱ به دست آمد.

معادله فائو-پنمن-مانتیث

$$ET_0 = \frac{0.408\Delta(Rn - G) + \gamma \frac{C_n}{T+273} U_2(es - ea)}{\Delta + \gamma(1 + C_d) U_2} \quad (1)$$

$$\gamma: \text{ضریب سایکرومتری (KPa}^0\text{C}^{-1})$$

$$\text{است (s m}^{-1}\text{) ضریب برای گیاه مرجع که مقدار آن ۹۰۰ \text{ است (Kg}^0\text{K KJ}^{-1}\text{ day}^{-1}\text{)}$$

جدول ۱. روابط مربوط به ۲۴ مدل تجربی برآورد تبخیر- تعرق مرجع در اقلیم‌های مختلف ایران

شماره	نام رابطه	معادلات
۲	هارگریوز سامانی (۱۹۸۵)	$ET_0 = 0.408 \times 0.0023 Ra (T_{mean} + 17.8) (T_{max} - T_{min})^{0.5}$
۳	ایرمک (۲۰۰۳)	$ET_0 = 0.149 Rs + 0.079 T_{mean} - 0.611$
۴	تراجکویک (۲۰۰۷)	$ET_0 = 0.408 \times 0.0023 Ra (T_{mean} + 17.8) (T_{max} - T_{min})^{0.424}$
۵	روضانی و همکاران (۲۰۱۲)	$ET_0 = 0.408 \times (0.817 + 0.00022Z) 0.0023 Ra (T_{mean} + 17.8) (T_{max} - T_{min})^{0.5}$
۶	برتی و همکاران (۲۰۱۴)	$ET_0 = 0.408 \times 0.00193 Ra (T_{mean} + 17.8) (T_{max} - T_{min})^{0.5}$
۷	اسکندرل (۲۰۱۴)	$ET_0 = 16 \frac{T_{mean}}{RH}$
۸	بلانی و کریدل (۱۹۷۷)	$ET_0 = P (0.46 T_{mean} + 8.17)$
۹	رومانتکو (۱۹۶۱)	$ET_0 = 0.0018 \times (T_{mean} + 25)^2 \times (100 - RH)$
۱۰	ماهرینگر (۱۹۷۰)	$ET_0 = 0.15072 \sqrt{3.6 U^2} (es - ea)$
۱۱	WMO(1960)	$ET_0 = (0.1298 + 0.0934 U^2) (es - ea)$
۱۲	Rn Based (2003)	$ET_0 = 0.289 Rs + 0.023 T_{mean} + 0.489$
۱۳	مک‌کینگ اصلاح شده (۱۹۵۷)	$ET_0 = 0.7 \frac{\Delta}{\Delta + \gamma} \frac{Rs}{\lambda}$
۱۴	تورک (۱۹۶۱)	$ET_0 = 0.013 \left( \frac{T_{mean}}{T_{mean} + 15} \right) \left( \frac{23.88 Rs + 50}{\lambda} \right)$
۱۵	تراپرت (۱۸۹۶)	$ET_0 = 0.408 + 0.00193 Ra (T_{mean} + 17.8) (T_{max} - T_{min})^{0.517}$
۱۶	طبری و همکاران ۱ (۲۰۱۳)	$ET_0 = ET_0 = -0.642 + 0.174 Rs + 0.0353 Ta$
۱۷	طبری و همکاران ۲ (۲۰۱۳)	$ET_0 = -0.478 + 0.156 Rs - 0.0112 T_{max} + 0.0733 T_{min}$
۱۸	دروگرز و آلن ۱ (۲۰۰۲)	$ET_0 = 0.408 \times 0.0030 Ra (T_{mean} + 17.8) (T_{max} - T_{min})^{0.5}$
۱۹	دروگرز و آلن ۲ (۲۰۰۲)	$ET_0 = 0.408 \times 0.0025 Ra (T_{mean} + 16.8) (T_{max} - T_{min})^{0.5}$
۲۰	دروگرز و آلن ۳ (۲۰۰۳)	$ET_0 = 0.408 \times 0.0013 Ra (T_{mean} + 17) (T_{max} - T_{min} - 0.0123 \times P)^{0.76}$
۲۱	فرمول ۱ والیانتراس	$ET_0 = 0.0393 Rs \sqrt{(T + 9.5)} - 2.4 \left( \frac{Rs}{Ra} \right)^2 - 0.024(T + 20) \left( 1 - \frac{RH}{100} \right) + 0.066 Waero (T + 20) \left( 1 + \frac{RH}{100} \right) U^{0.6}$
۲۲	فرمول ۲ والیانتراس	$ET_0 = 0.0393 Rs \sqrt{(T + 9.5)} - 0.19 Rs^{0.6} \varphi^{0.15} + 0.048 (T + 20) \left( 1 - \frac{RH}{100} \right) U^{0.7}$
۲۳	فرمول ۳ والیانتراس	$ET_0 = 0.0393 Rs \sqrt{(T + 9.5)} - 2.4 \left( \frac{Rs}{Ra} \right)^2 - 0.024 (T + 20) \left( 1 - \frac{RH}{100} \right) + 0.1 Waero (T + 20) \left( 1 - \frac{RH}{100} \right)$
۲۴	فرمول ۴ والیانتراس	$ET_0 = 0.0393 Rs \sqrt{(T + 9.5)} - 0.19 Rs^{0.6} \varphi^{0.15} + 0.078 (T + 20) \left( 1 - \frac{RH}{100} \right)$
۲۵	فرمول ۵ والیانتراس	$ET_0 = 0.0393 Rs \sqrt{(T + 9.5)} - 0.19 Rs^{0.6} \varphi^{0.15} + 0.0061(T + 20)(1.12T - T_{min} - 21)^{0.7}$

$$MR = \frac{1}{n} \sum_{i=1}^n \frac{Pi}{O_i} \quad (29)$$

که در آن‌ها:

$n$ : تعداد مشاهدات

$O_i$ : مقدار تبخیر و تعرق واقعی محاسبه شده با روش فائقو – پنمن – مانتیث

$P_i$ : مقدار تبخیر و تعرق برآورده شده با سایر روابط تجربی

$O_{av}$ : میانگین مقادیر تبخیر و تعرق واقعی محاسبه شده با روش فائقو – پنمن – مانتیث منابع

$P_{av}$ : میانگین مقدار تبخیر و تعرق برآورده شده با سایر روابط تجربی

در پایان، برای اینکه مشخص شود در اقلیم‌های ایران کدام روابط نتایج نزدیکتری به مدل فائقو – پنمن – مانتیث دارند، به هر یک از مدل‌ها براساس شاخص‌های ارزیابی از ۱ تا ۲۴ نمره داده شد. سپس، مدل‌هایی که بیشترین نمره را به دست آورده‌اند به عنوان مدل‌های برتر معرفی شدند.

### نتایج و بحث

شاخص‌های عملکرد آماری استفاده شده برای مقایسه مقادیر حاصل از برآورد تبخیر – تعرق مرجع روزانه با استفاده از ۲۴ مدل تجربی با مقادیر به دست‌آمده از رابطه استاندارد فائقو – پنمن – مانتیث در جدول‌های ۲ تا ۵ ارائه شده است. برای اینکه تعداد جدول‌ها کمتر شود و مقایسه راحت‌تر انجام گیرد، شهرهایی که از نظر موقعیت جغرافیایی نزدیک به هم بودند، در یک جدول قرار داده شدند.

مطلوب نتایج به دست آمده از جدول‌های ۲ تا ۵ نتایج برآورد تبخیر و تعرق مرجع براساس ۲۴ روش ارائه شده در پژوهش حاضر برای هر نه ایستگاه در اقلیم‌های مختلف، روند تقریباً یکسانی را در میزان برآورد تبخیر و تعرق در روش‌های همسان نشان دادند. براساس شاخص‌های آماری RMSE و MAE به دست‌آمده در تمامی اقلیم‌ها به جزء اقلیم مرتبط و نیمه‌مرتبط و مدیترانه‌ای شهرهای شمالی کشور، روش مک‌کینگ اصلاح شده به عنوان روش برتر انتخاب شد. در اقلیم گرم و مرتبط بندرعباس نیز مدل والیانتراس ۵ بهترین برآورد را داشت. دقت زیاد مدل والیانتراس در سه ایستگاه آدان، ایتالیا و اسپارتاآن تأیید شده است [۱۴]. در نوار شمالی

در روابط ۲-۲۵:  $T$  (Mj  $m^{-2}$  day $^{-1}$ )،  $Ra$  تابش فراجوی ( $m^{-2}$  day $^{-1}$ )،  $Tmax$ : متوسط دما روزانه هوا ( $^0C$ )،  $Tmin$ : دما کمینه ( $^0C$ )،  $Z$  ارتفاع (Mj  $m^{-2}$  day $^{-1}$ )،  $Rs$  (MJ  $m^{-2}$  d $^{-1}$ )،  $P$ : ساعت محل از سطح دریا (m)،  $RH$  رطوبت نسبی (%)، آفتابی (%)، ضریب  $\lambda$  در دمای ۲۰ درجه سانتی‌گراد برابر ۰/۴۵،  $\phi$ : عرض جغرافیایی ایستگاه مدنظر (rad) و  $Waero$  فاکتور آبرودینامیکی در محاسبه تبخیر و تعرق مرجع است که برای  $1/067$  برابر  $0/65$  و در غیر این صورت برابر با  $0/78$  در نظر گرفته می‌شود. در این روابط،  $ea$  و  $es$  بر حسب (Kpa) هستند به جزء رابطه ۱۰ و ۱۵ که با واحد hpa بیان می‌شوند. ضریب  $0/408$  در روابط ۲، ۴، ۵، ۶، ۱۵، ۱۸، ۱۹ و ۲۰ برای تبدیل مقادیر تابش از MJ  $ET0$  به  $mm day^{-1}$  است. در تمامی روابط مقدار  $ET0$  بر حسب (mm day $^{-1}$ ) است. از آنجا که استفاده از معادله فائقو – پنمن – مانتیث به داده‌های هواشناسی زیادی نیاز دارد، استفاده از روش‌های جایگزین با تعداد پارامترهای مورد نیاز کمتر و دقت قابل قبول می‌تواند در تخمین نیاز آبی گیاهان مدنظر قرار گیرد. معادلات والیانتراس که از معادله استاندارد فائقو – پنمن – مانتیث مشتق شده‌اند، براساس داده‌های اقلیمی و همبستگی خوب با معادله فائقو – پنمن – مانتیث توسعه داده شده‌اند.

### شاخص‌های ارزیابی

برای ارزیابی روش‌های استفاده شده، مدل فائقو – پنمن – مانتیث به عنوان مدل استاندارد در نظر گرفته شد و سایر مدل‌ها با این مدل مقایسه شدند. شاخص‌های آماری استفاده شده عبارت‌اند از: ریشه میانگین مربعات خطای (RMSE) (میانگین خطای مطلق،  $^2$  (MAE) درصد خطای تخمین  $^3$  (PE)، نسبت میانگین  $^4$  (MR) [۱۰].

$$RMSE = \sqrt{\sum_{i=1}^n \frac{(Pi - Oi)^2}{n}} \quad (26)$$

$$MAE = \frac{1}{n} \sum_{i=1}^n (Pi - Oi) \quad (27)$$

$$PE = \frac{(Pav - Oav)}{Oav} \times 100 \quad (28)$$

1. RMSE: Root Mean Square Error

2. MAE: Mean Absolute Error

3. PE: Percentage Error of Estimation

4. MR: Mean Ratio

تراجکویک و ضعیفترین مدل‌ها، هارگریوز سامانی اصلاح شده، ایرماک و اسکندل است [۵]. براساس مقادیر RMSE و MAE از بین روش‌های به کار رفته برای تعیین تبخیر و تعرق در اقلیم ارومیه بعد از مدل مک‌کینگ اصلاح شده مدل‌های هارگریوز سامانی، دروغز و آلن ۱-۳ و مدل والیانتزاس ۵ به عنوان مدل بهتر معرفی می‌شود و مدل‌های مبتنی بر انتقال جرم و تشعشع خورشیدی همچون WMO Based Rn و تورک، مدل‌های طبری و همکاران والیانتزاس ۱ و ۲ با داشتن بیشترین مقادیر میانگین مربعات خطأ و میانگین خطای مطلق به عنوان بدترین روش انتخاب شدند. در اقلیم شهرکرد روش دروغز و آلن ۱-۳، هارگریوز سامانی، برتری و همکاران و ایرماک (۲۰۰۳) بعد از روش مک‌کینگ به عنوان روش‌های برتر انتخاب شدند. مدل‌های تورک، تراجکویک (۲۰۰۷)، WMO و Rn Based نیز بدترین برآورد را از تبخیر و تعرق مرجع نسبت به روش فائقه-پمن-مانتیث داشتند.

کشور روش دروغز و آلن ۱ (۲۰۰۲) از بین ۲۴ مدل انتخابی بهترین و نزدیک‌ترین برآورد تبخیر و تعرق را به روش فائقه-پمن-مانتیث داشت. بیست مدل تبخیر و تعرق در نوار شمالی کشور شمال شهرهای گرگان، ساری و رشت با مدل اقلیم‌های مطالعه شده، مدل‌های روزانی و همکاران، برتری و همکاران، هارگریوز سامانی، اسکندل، ایرماک و همچنین مدل والیانتزاس عملکرد مطلوب‌تری در برآورد تبخیر تعرق مرجع دارند، اما در این تحقیق روش دروغز و آلن ۱ (۲۰۰۲) به عنوان روش برتر و سایر روش‌ها در رتبه‌های بعدی قرار گرفتند. علت این اختلاف شاید به دلیل کوتاه بودن دوره آماری مطالعه شده (۱۳۸۶-۱۳۹۵) در تحقیق یادشده [۱۰] نسبت به تحقیق حاضر (۱۳۶۷-۱۳۹۶) است. ۱۸ روش تبخیر و تعرق در شرایط آب و هوایی دشت اردبیل با روش فائقه-پمن-مانتیث ارزیابی شد. پژوهشگران نتیجه گرفتند مناسب‌ترین مدل‌ها به ترتیب تورک، برتری و همکاران و

جدول ۲. اقلیم سرد نیمه‌خشک و سرد معتمد

شهرکرد					ارومیه			ایستگاه	
RMSE	MAE	MR	PE	RMSE	MAE	MR	PE	معیار خطأ	
۲/۳	۱/۸	۰/۷۰	۲۷/۱	۳/۰۲	۲/۵	۰/۶۰	۳۷/۲۲	هارگریوز سامانی (۱۹۸۵)	
۲/۵۳	۲/۲۴	۰/۶۶	۳۳/۲۷	۳/۲۹	۳/۰۳	۰/۵۴	۴۳/۸	ایرماک (۲۰۰۳)	
۴/۲۶	۳/۴۲	۱/۳۳	۳۸/۲۵	۳/۷۱	۳/۴۹	۰/۴۷	۵۰/۸	تراجکویک (۲۰۰۷)	
۲/۹۸	۲/۷۱	۰/۵۷	۴۰/۴۷	۳/۵۹	۳/۳۵	۰/۴۹	۴۸/۷	طبری و همکاران (۲۰۱۲)	
۲/۸۹	۲/۶۰	۰/۵۸	۳۸/۸۷	۳/۵۱	۳/۲۵	۰/۵۰	۴۷/۳	برتری و همکاران (۲۰۱۴)	
۳/۶۱	۳/۲۴	۰/۶۵	۲۲/۷	۳/۸	۳/۳	۰/۴۶	۴۷/۳	اسکندل (۲۰۱۴)	
۳/۰۴	۲/۸۵	۰/۵۷	۴۲/۶۰	۳/۲۲	۳/۰۷	۰/۵۴	۴۴/۶۴	بلانی و کریدل (۱۹۷۷)	
۲/۵۱	۲/۲۰	۰/۶۸	۲۵/۲۸	۳/۳۱	۳/۰۳	۰/۵۲	۴۳/۷۴	رومانتکو (۱۹۶۱)	
۲/۳۸	۳/۰۷	۰/۵۱	۴۵/۵۲	۳/۳۱	۲/۹۵	۰/۵۴	۴۲/۴۴	ماهربنگر (۱۹۷۰)	
۴/۹۶	۴/۸۲	۰/۲۵	۲۱/۹۷	۵/۳۹	۵/۳۱	۰/۲۰	۷۷/۲۶	WMO(1960)	
۵/۳۲	۴/۶۲	۱/۶۹	۶۷/۸	۴/۵	۳/۸	۱/۴	۴۶	Rn Based (2003)	
۱/۵۳	۱/۳	۰/۹۸	۲/۳۶	۱/۸	۱/۴	۰/۸۲	۱۴/۷	مک‌کینگ اصلاح شده	
۵/۳۰	۵/۱۸	۰/۱۸	۷۷/۳۲	۵/۶	۵/۵	۰/۱۷	۸۰/۳	تورک	
۲/۷۱	۲/۳۶	۰/۸۲	۳۵/۲۸	۳/۳۶	۳/۰۵	۰/۵۳	۴۴/۳۷	تراپت ۱۸۹۶	
۵/۱۳	۵	۰/۱۸	۷۴/۶۶	۵/۵	۵/۴	۰/۱۶	۷۹/۳	طبری و همکاران ۱ (۲۰۱۳)	
۳/۶۰	۳/۳۹	۰/۴۷	۵۰/۵۴	۴/۱۲	۳/۹	۰/۴۱	۵۶/۹	طبری و همکاران ۲ (۲۰۱۳)	
۲/۰۹	۱/۷۵	۰/۹۱	۴/۹۹	۲/۵۴	۲/۱۰	۰/۷۸	۱۸/۱۲	دروگز و آلن ۱ (۲۰۰۲)	
۲/۲۴	۱/۷۴	۰/۷۳	۲۲/۳۴	۲/۹۰	۲/۳۸	۰/۶۳	۳۲/۱۹	دروگز و آلن ۲ (۲۰۰۲)	
۲/۱۷	۱/۸۰	۰/۹۱	۴/۳۹	۲/۶۰	۲/۱۱	۰/۷۵	۲۰/۹	دروگز و آلن ۳ (۲۰۰۳)	
۳/۹۰	۳/۶۱	۰/۴۱	۵۳/۹۳	۴/۱۱	۳/۷۸	۰/۴۱	۵۵/۰۱	فرمول ۱ والیانتزاس	
۳/۴۵	۳/۱۷	۰/۴۸	۴۷/۳۴	۴/۱۹	۳/۹۶	۰/۳۸	۵۷/۶	فرمول ۲ والیانتزاس	
۲/۷۳	۲/۱۵	۰/۶۳	۳۰/۵۱	۳۴۵	۲/۹	۰/۵۳	۴۲/۴۸	فرمول ۳ والیانتزاس	
۲/۸۶	۲/۴۸	۰/۵۷	۳۶/۹۴	۲/۷	۳/۴۹	۰/۴۵	۵۰/۷	فرمول ۴ والیانتزاس	
۲/۹۷	۲/۵۱	۱/۳۲	۳۲/۱۳	۲/۴۴	۲/۱۰	۱/۱۱	۱۳	فرمول ۵ والیانتزاس	

جدول ۳. اقلیم مرطوب و نیمه‌مرطوب و مدیترانه‌ای شامل شهرهای گرگان، ساری و رشت

رشت				ساری				گرگان				ایستگاه
RMSE	MAE	MR	PE	RMSE	MAE	MR	PE	RMSE	MAE	MR	PE	معیار خطا
۱/۸	۱/۵	۰/۷۸	۲۲/۷۸	۱/۸	۱/۲	۰/۴۰	۳۰	۲/۵۸	۲/۲۰	۰/۶۸	۳۰/۰۱	هارگریوز سامانی (۱۹۸۵)
۲/۳	۲	۰/۷۰	۳۳/۴۶	۲/۳۱	۱/۶۴	۰/۳۵	۴۰/۴	۳/۱۶	۲/۹۴	۰/۵۸	۴۱	ایرماسک (۲۰۰۳)
۲/۶۱	۲/۲۹	۰/۶۱	۳۹/۴۰	۲/۵۰	۱/۸۲	۰/۲۲	۴۵/۰۶	۳/۴۲	۳/۲۳	۰/۵۳	۴۵/۰۴	ترجمکویک (۲۰۰۷)
۲/۵۳	۲/۲۱	۰/۶۳	۳۷/۷	۲/۴۳	۱/۷۶	۰/۳۳	۴۳/۴۳	۳/۲۹	۳/۰۷	۰/۵۵	۴۲/۸	روزانی و همکاران (۲۰۱۲)
۲/۴۵	۲/۱۳	۰/۶۴	۳۳/۶۵	۲/۳۵	۱/۷۰	۰/۳۴	۴۱/۹	۳/۱۹	۲/۹۶	۰/۵۷	۴۱/۲۷	برتی و همکاران (۲۰۱۴)
۲/۸	۲/۵	۰/۵۶	۴۳/۷	۲/۴۲	۱/۷۹	۰/۳۲	۴۴/۰۴	۳/۲۸	۳/۱۳	۰/۵۳	۴۳/۶۸	اسکندر (۲۰۱۴)
۱/۹۳	۱/۵۷	۰/۸۰	۲۴/۶۰	۱/۸۷	۱/۳۳	۰/۴۰	۳۲/۷۸	۲/۷۸	۲/۶۵	۰/۶۲	۳۶/۹۲	بلانی و کریدل (۱۹۷۷)
۳/۹۳	۳/۶۷	۰/۳۶	۶۳/۶۱	۳/۱۶	۲/۷۳	۰/۲۴	۵۸/۴۵	۳/۹۰	۳/۸۱	۰/۴۴	۵۳/۰۶	رومانتنکو (۱۹۶۱)
۲/۶۱	۲/۲۳	۰/۶۶	۳۶/۸۱	۱/۸۶	۱/۲۵	۰/۴۰	۳۰/۳۱	۳/۲۵	۲/۸۸	۰/۶۶	۳۰/۳۰	ماهربینگر (۱۹۷۰)
۵/۳	۵	۰/۱۲	۸۷/۵	۴/۵	۲/۴۲	۰/۰۹	۸۴/۱۵	۵/۸۶	۵/۷۸	۰/۱۷	۸۰/۴	WMO (1960)
۴/۹	۴/۶	۱/۹	۷۹/۵	۳/۵	۲/۴۵	۰/۹۷	۶۰	۴/۷	۴/۱۲	۱/۵	۵۶/۳	Rn Based (2003)
۱/۷	۱/۵	۰/۶۹	۲۶/۸	۱/۶۸	۱/۱۶	۰/۴۲	۲۸/۸۷	۲/۱۴	۱/۸	۰/۷۵	۲۳/۱	مک‌کینگ اصلاح شده
۴/۵	۴/۲	۰/۲۶	۷۳/۷	۴/۱۳	۳/۰۹	۰/۱۴	۷۶	۵/۵۸	۵/۴۷	۰/۲۳	۷۶/۱۴	تورک
۲/۲۸	۱/۹	۰/۶۹	۳۲/۶	۲/۲۱	۱/۵۸	۰/۳۶	۳۸	۳	۲/۷۳	۰/۶۰	۳۸	تراپرت (۱۸۹۶)
۴/۳	۴/۱	۰/۲۳	۱۷/۷۷	۳/۸۵	۲/۹۳	۰/۱۴	۷۲/۱۵	۵/۱۸	۵/۱۰	۰/۲۵	۷۱	طبری و همکاران ۱ (۲۰۱۳)
۳/۰۶	۲/۷۲	۰/۵۰	۴۷	۲/۹۰	۲/۱۴	۰/۲۸	۵۲/۶۸	۴	۳/۸	۰/۴۵	۵۳/۱۸	طبری و همکاران ۲ (۲۰۱۳)
۱/۴۱	۱/۰۹	۱/۰۱	۵/۹	۱/۲۶	۰/۷۶	۰/۵۳	۹/۷۲	۲/۰۷	۱/۷۲	۰/۸۸	۸/۷۲	دروگرز و آلن ۱ (۲۰۰۲)
۱/۷۰	۱/۳۶	۰/۸۲	۱۹/۵۱	۱/۶۹	۱/۱۳	۰/۴۳	۲۶/۸	۲/۴۱	۱/۹۹	۰/۷۱	۲۵/۹	دروگرز و آلن ۲ (۲۰۰۲)
۱/۴۷	۱/۱۷	۰/۹۰	۱۱/۳۸	۱/۴۵	۰/۹۳	۰/۴۹	۱۷/۲۸	۲/۱۸	۱/۸۴	۰/۸۵	۱۲/۶۰	دروگرز و آلن ۳ (۲۰۰۳)
۳/۰۶	۲/۷۸	۰/۴۹	۴۸	۲/۸	۲/۱	۰/۲۷	۵۲/۲۷	۳/۹۵	۳/۷۳	۰/۴۵	۵۱/۹۹	فرمول ۱ والیانتراس
۳/۵	۳/۲۸	۰/۴۲	۵۶/۸	۳/۱۸	۲/۳۷	۰/۲۳	۵۸/۴۸	۴/۱۸	۴/۰۳	۰/۴۱	۵۶/۱	فرمول ۲ والیانتراس
۲/۷۱	۲/۴۳	۰/۵۶	۴۱/۹۶	۲/۵۴	۱/۸۶	۰/۳۱	۴۵	۳/۴۶	۳/۲۰	۰/۵۲	۴۴/۵	فرمول ۳ والیانتراس
۳/۱۹	۲/۹	۰/۴۸	۵۰	۲/۸۷	۲/۱۴	۰/۲۷	۵۲/۶۸	۳/۷۶	۳/۶۰	۰/۴۷	۵۰	فرمول ۴ والیانتراس
۲/۲	۱/۸	۱/۳	۲۹	۱/۳۷	۰/۸۵	۰/۷۰	۱۴/۹۹	۲/۱۴	۱/۷۵	۱/۱۵	۱۵	فرمول ۵ والیانتراس

هارگریوز سامانی و بلانی کریدل، در اقلیم بندرعباس به ترتیب مدل‌های دروگرز و آلن ۱، مک‌کینگ اصلاح شده، اسکندر، ۲۰۱۴، دروگرز و آلن ۳ و تراپرت، ۱۹۶۰، در اقلیم سرد و خشک مشهد مدل‌های دروگرز و آلن ۱ و ۳ و ۲، والیانتراس ۵، هارگریوز سامانی و در اقلیم گرم و خشک زاهدان مدل‌های دروگرز و آلن ۲ و ۳ و ۱، والیانتراس ۳ و ۴ و ایرمسک، ۲۰۰۳ نتایج خوبی از برآورد تبخیر و تعرق داشتند. تحقیقات نشان داده است در مناطق خشک و نیمه‌خشک شرق کشور مدل هارگریوز سامانی برآورد خوبی از تبخیر و تعرق ارائه می‌دهد [۱۶]. همان‌طور که مشاهده می‌شود، در اقلیم‌های مختلف مدل‌های متفاوتی برای برآورد تبخیر و تعرق مرجع به عنوان روش برتر انتخاب شدند.

مطابق جدول ۳ براساس شاخص آماری RMSE و MAE در اقلیم گرگان مدل مک‌کینگ اصلاح شده، والیانتراس ۵، دروگرز و آلن ۳ و ۲ و هارگریوز سامانی بعد از روش دروگرز و آلن ۱ به عنوان روش برتر انتخاب شدند. در ساری روش والیانتراس ۵ دروگرز و آلن ۳، مک‌کینگ اصلاح شده، هارگریوز سامانی و بلانی کریدل و ماهربینگر با داشتن کمترین میانگین مربعات خطأ بعد از روش دروگرز و آلن ۱ به عنوان روش برتر معرفی می‌شوند. در اقلیم رشت مدل‌های دروگرز و آلن ۳، مک‌کینگ اصلاح شده، هارگریوز سامانی، بلانی کریدل و والیانتراس ۵ انتخاب شد. مطابق جدول‌های ۴ و ۵ بر اساس شاخص آماری RMSE و MAE در اقلیم گرم و مرطوب اهواز مدل‌های مک‌کینگ اصلاح شده، والیانتراس ۵ و ۴، دروگرز و آلن ۳،

جدول ۴. اقلیم گرم و مرطوب شامل شهرهای اهواز و بندرعباس

اهواز								ایستگاه
بندرعباس				اهواز				معیار خطا
RMSE	MAE	MR	PE	RMSE	MAE	MR	PE	
۳/۴۵	۲/۲۴	۰/۶۴	۳۵	۲/۱۶	۲/۱	۰/۷۶	۲۰/۹	هارگریوز سامانی (۱۹۸۵)
۴/۴۶	۴/۳۷	۰/۵۲	۴۷/۳۳	۳/۴	۳/۲	۰/۵۹	۳۹/۱	ایرماک (۲۰۰۳)
۴/۵۴	۴/۴۴	۰/۵۱	۴۸	۳/۴۹	۳/۱۹	۰/۵۹	۳۷/۹	تراجکویک (۲۰۰۷)
۴/۴۵	۴/۴۳	۰/۵۲	۴۶/۹	۳/۴۲	۲/۹۷	۰/۶۲	۵۳/۳	روضانی و همکاران (۲۰۱۲)
۴/۳۳	۴/۲۰	۰/۵۴	۴۵/۷	۳/۲۴	۲/۱۳	۰/۶۴	۳۳/۶۵	برتی و همکاران (۲۰۱۴)
۲/۵۴	۲/۲۹	۰/۷۳	۲۵/۸	۸/۵۸	۶/۴۹	۱/۴۲	۵۱/۵۴	اسکندل (۲۰۱۴)
۳/۵۷	۳/۴۹	۰/۶۲	۳۷/۷۹	۲/۸۸	۲/۷۱	۰/۶۶	۳۲/۲۸	بلانی و کریدل (۱۹۷۷)
۳/۴۱	۳/۲۵	۰/۶۴	۳۵/۲۰	۴/۹۲	۴/۱۸	۱/۱۴	۴۳/۷۴	رومانتکو (۱۹۶۱)
۴/۱۳	۳/۲۹	۱/۱۸	۲۱/۷۴	۶/۴۴	۴/۹۵	۱/۲۴	۳۱/۳۳	ماهرینگر (۱۹۷۰)
۴/۳۶	۳/۹۵	۰/۶۴	۳۰	۴/۳۶	۳/۹۵	۰/۶۴	۳۰	WMO (1960)
۵/۹۹	۵/۲۱	۱/۱۵۹	۶۱/۸	۵/۹۹	۵/۲۱	۱/۵۹	۶۱/۸	Rn Based (2003)
۲/۴۵	۲/۲۲	۰/۹۸	۲۱/۸	۲/۲۱	۱/۸۱	۰/۷۷	۲۰/۸	مک‌کینگ اصلاح‌شده
۶/۳۰	۶/۲۵	۰/۲۴	۷۴/۴۷	۶/۳۰	۶/۲۵	۰/۲۴	۷۴/۴۷	تورک
۳/۰۴	۲/۵	۰/۶۷	۲۹/۹	۳/۰۴	۲/۵	۰/۶۷	۲۹/۹	ترابرت (۱۸۹۶)
۴/۹۸	۴/۷۶	۰/۴۰	۵۶/۷	۴/۹۸	۴/۷۶	۰/۴۰	۵۶/۷	طبری و همکاران ۱ (۲۰۱۳)
۴/۵۱	۴/۴۲	۰/۴۶	۵۲/۷۰	۴/۵۱	۴/۴۲	۰/۴۶	۵۲/۷۰	طبری و همکاران ۲ (۲۰۱۳)
۲/۱۶	۱/۷	۰/۱۸۴	۱۵/۲۴	۲/۸۷	۲/۵۸	۰/۹۹	۳/۱۳	دروگز و آلن ۱ (۲۰۰۲)
۳/۴۵	۳/۲۲	۰/۶۴	۳۵	۲/۵۸	۲/۱۶	۰/۸۱	۱۵/۹	دروگز و آلن ۲ (۲۰۰۲)
۲/۶۲	۲/۲۴	۰/۷۶	۲۲/۸۸	۲/۸۹	۲/۶۰	۰/۸۶	۱۰/۴۷	دروگز و آلن ۳ (۲۰۰۳)
۴/۶۱	۴/۴۷	۰/۵۰	۴۸/۳۹	۴/۲۵	۴/۰۶	۰/۴۹	۴۸/۳	فرمول ۱ والیانتراس
۵/۰۱	۴/۹۲	۰/۴۶	۵۳/۲۱	۳/۷۰	۳/۲۵	۰/۵۸	۳۷/۶۸	فرمول ۲ والیانتراس
۳/۹۷	۳/۱۰	۰/۵۸	۴۱/۱۳	۲/۸۰	۲/۳۱	۰/۷۶	۲۰/۴۷	فرمول ۳ والیانتراس
۴/۶۴	۴/۵۴	۰/۵۰	۴۹/۱۰	۳/۱۰	۲/۵۶	۰/۶۷	۲۹/۶	فرمول ۴ والیانتراس
۱/۳۱	۱/۱۴	۰/۹۸	۱/۸۱	۲/۷۴	۲/۲۹	۱/۱۶	۱۸/۵۵	فرمول ۵ والیانتراس

جدول ۵. اقلیم گرم و خشک و سرد و خشک

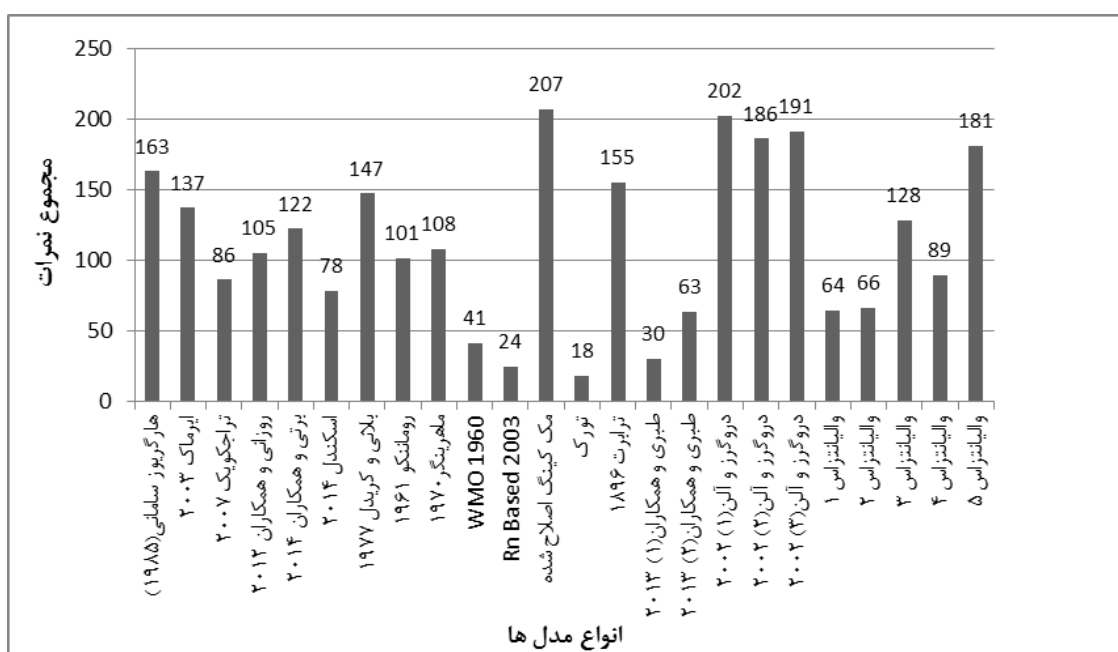
زاهدان				مشهد				ایستگاه
RMSE	MAE	MR	PE	RMSE	MAE	MR	PE	معیار خطا
۲/۰۰	۲/۱۲	۰/۷۵	۲۳	۲/۸۰	۲/۷۰	۰/۶۷	۳۰/۵۹	هارگریوز سامانی (۱۹۸۵)
۲/۰۷	۲/۸۷	۰/۶۳	۳۶/۱	۳/۲۵	۲/۹۹	۰/۵۸	۴۰/۶۸	ایرماک (۲۰۰۳)
۲/۵۲	۳/۲۱	۰/۵۸	۴۰/۴۵	۲/۶۴	۲/۳۷	۰/۵۲	۴۵/۹	تراجکویک (۲۰۰۷)
۲/۳۳	۲/۹۶	۰/۶۱	۳۷/۲۵	۳/۴۹	۲/۱۸	۰/۵۴	۴۳/۲	روضانی و همکاران (۲۰۱۲)
۳/۲۴	۲/۸۳	۰/۶۳	۳۵/۶۸	۲/۴۰	۲/۰۶	۰/۵۶	۴۱/۷	برتی و همکاران (۲۰۱۴)
۱۱/۵۴	۸/۵	۱/۷	۷۷/۶	۵/۰۲	۴/۱۹	۰/۸۲	۸/۵۷	اسکندل (۲۰۱۴)
۳/۰۰	۳/۱۱	۰/۶۰	۳۹/۲۸	۳/۲۰	۳/۰۹	۰/۵۷	۴۱/۳۸	بلانی و کریدل (۱۹۷۷)
۳/۹۴	۳/۴۱	۱/۱۰	۱۳/۲۹	۳/۳۰	۲/۹۶	۰/۷۲	۲۱/۴۰	رومانتکو (۱۹۶۱)
۳/۵۷	۳/۰۸	۰/۹۹	۱۷/۷۱	۳/۲۷	۲/۹۷	۰/۷۵	۱۹/۶۳	ماهرینگر (۱۹۷۰)
۳/۹۸	۳/۴۷	۰/۵۸	۳۹/۱	۴/۸۱	۴/۵۴	۰/۳۴	۶۱/۳۹	WMO (1960)
۵/۸۷	۵/۰۶	۱/۶۲	۶۳/۶۵	۵/۱۱	۴/۲۷	۱/۵۲	۵۴	Rn Based (2003)
۱/۴۶	۱/۲۵	۰/۹۶	۲/۸۷	۱/۷۹	۱/۴۱	۰/۸۵	۱۲/۴۹	مک‌کینگ اصلاح‌شده
۵/۸۴	۵/۸۲	۰/۲۶	۷۳/۴۱	۵/۷۱	۵/۶۴	۰/۲۱	۷۶/۸۰	تورک
۲/۰۴	۲/۵۵	۰/۶۶	۳۱/۹۴	۳/۲۲	۲/۸۲	۰/۵۹	۳۸/۴۲	ترابرت (۱۸۹۶)
۵/۲۴	۵/۰۱	۰/۳۵	۶۳/۲۱	۵/۴۰	۵/۲۵	۰/۲۴	۷۱/۶۱	طبری و همکاران ۱ (۲۰۱۳)
۴/۲۶	۴/۱۳	۰/۴۷	۵۲/۰۷	۴/۲۱	۴/۰۲	۰/۴۴	۵۴/۸۰	طبری و همکاران ۲ (۲۰۱۳)
۲/۶۷	۲/۴۰	۰/۹۸	۲۰	۲/۶۱	۲/۲۳	۰/۸۷	۹/۴۷	دروگز و آلن ۱ (۲۰۰۲)
۲/۵۹	۲/۱۰	۰/۷۹	۱۸/۸	۲/۷۷	۲/۱۶	۰/۷۰	۲۶/۶	دروگز و آلن ۲ (۲۰۰۲)
۲/۶۳	۲/۳۶	۰/۹۸	۵۲	۲/۵۹	۲/۱۸	۰/۸۶	۱۰/۴۷	دروگز و آلن ۳ (۲۰۰۳)
۴/۷۶	۴/۵۵	۰/۴۲	۵۷/۲۲	۴/۲۲	۲/۸۷	۰/۴۴	۵۲/۶۹	فرمول ۱ والیانتراس
۳/۱۸	۲/۶۴	۰/۶۶	۳۲/۷	۳/۸۷	۳/۵۰	۰/۴۹	۴۷/۶۶	فرمول ۲ والیانتراس
۲/۸۲	۲/۳۰	۰/۷۹	۱۸/۸۶	۳/۳۳	۲/۶۴	۰/۶۱	۳۴/۱۶	فرمول ۳ والیانتراس
۲/۸۴	۲/۲۴	۰/۷۲	۲۵/۹	۲/۴۶	۲/۰۲	۰/۵۵	۴۱/۱۱	فرمول ۴ والیانتراس
۳/۱۰	۲/۶۱	۱/۲۵	۲۶/۵۴	۲/۷۱	۲/۳۶	۱/۱۷	۱۸/۲۶	فرمول ۵ والیانتراس

آماری نشان می‌دهد. با توجه شکل ۲ بر اساس شاخص آماری RMSE مدل مک‌کینگ اصلاح شده با داشتن بیشترین نمره می‌تواند برآورد بهتری از تبخیر و تعرق داشته باشد. مدل‌های دروگرز و آلن ۱، دروگرز و آلن ۳، دروگرز و آلن ۲ و والیانتزاس ۵ هارگریوز سامانی (۱۹۸۵) در رتبه‌های بعدی قرار می‌گیرند.

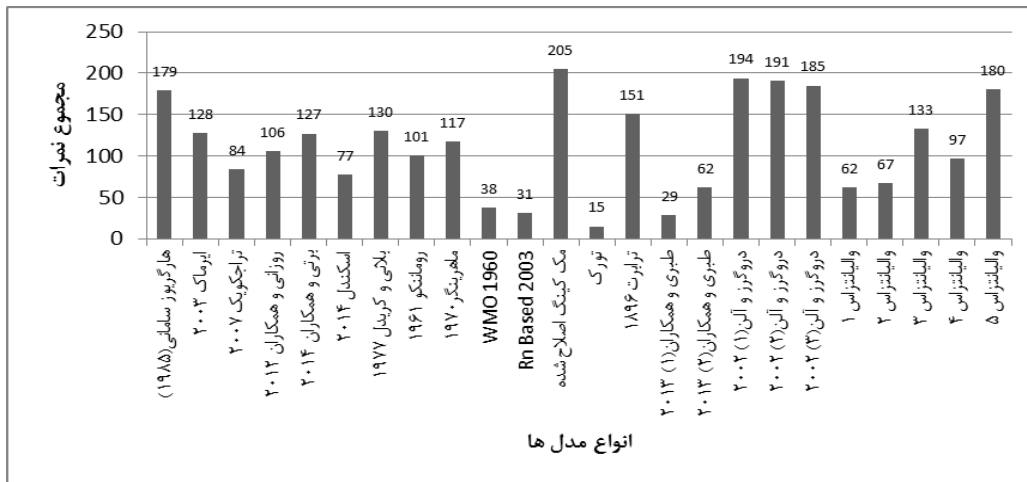
براساس آماره میانگین خطای مطلق (MAE) (شکل ۳) نیز مدل مک‌کینگ اصلاح شده از بین مدل‌های بررسی شده بیشترین نمره (۲۰۵) را به دست آورده است. و مدل‌های دروگرز و آلن ۱، دروگرز و آلن ۲، دروگرز و آلن ۳، والیانتزاس ۵ و هارگریوز سامانی (۱۹۸۵) در رتبه‌های بعدی قرار گرفتند. بر اساس آماره درصد خطای تخمین (PE) (شکل ۴) مدل دروگرز و آلن ۱ با مجموع ۲۰۴ نمره رتبه نخست در برآورد تبخیر و تعرق را داشت و مدل‌های مک‌کینگ اصلاح شده، دروگرز و آلن ۳ و ۲، والیانتزاس ۵ و هارگریوز سامانی (۱۹۸۵) در رتبه‌های بعدی قرار گرفتند. شکل ۵ نقشه پهنه‌بندی تبخیر و تعرق گیاه مرجع را با استفاده از روش کریجینگ با داده‌های مربوط به مدل برتر در هر منطقه نشان می‌دهد. همان‌طور که مشاهده می‌شود، مقدار تبخیر و تعرق در نواحی غربی، شمال غربی و شمال کشور کمتر و به سمت مرکز و جنوب شرق کشور افزایش می‌یابد.

شاخص MR مقادیر بیش‌برآورده و کم‌برآورده مدل‌ها را پیش‌بینی می‌کند. هر چه مقدار این شاخص به یک نزدیک‌تر باشد، نشان‌دهنده برآورد خوب مدل است. مقادیر کمتر از یک، نشان‌دهنده کم‌برآورده مدل و مقادیر بیشتر از یک، نشان‌دهنده بیش‌برآورده مدل نسبت به مدل مبنا هستند. مقدار این شاخص برای مدل برتر در اقلیم‌های ارومیه، شهرکرد، گرگان، ساری، رشت، اهواز، بندرعباس، مشهد و زاهدان به ترتیب ۰/۸۲، ۰/۸۸، ۰/۸۳، ۰/۸۱، ۰/۷۷، ۰/۷۷، ۰/۸۵ و ۰/۹۶ به دست آمد که نشان می‌دهد مدل‌های انتخابی در همه اقلیم‌ها به جز اقلیم رشت، مقادیر تبخیر و تعرق را نسبت به روش فائق-پمن - ماننتیث کمتر برآورده کردند. شاخص PE درصد خطای میانگین‌ها را نسبت به میانگین محاسبه شده توسط مدل فائق-پمن - ماننتیث نشان می‌دهد. هر چه مقدار این شاخص به صفر نزدیک‌تر باشد، نشان‌دهنده برآورد خوب مدل نسبت به مدل مبناست. مقدار این شاخص برای مدل برتر در اقلیم‌های ارومیه، شهرکرد، گرگان، ساری، رشت، اهواز، بندرعباس، مشهد و زاهدان به ترتیب ۱۴/۷، ۲۰/۸، ۵/۹، ۹/۷۲، ۲/۳۶، ۸/۷۲، ۱۴/۷ و ۱۲/۴۹ درصد به دست آمد که نشان‌دهنده برآورد خوب مدل انتخابی برای هر منطقه است.

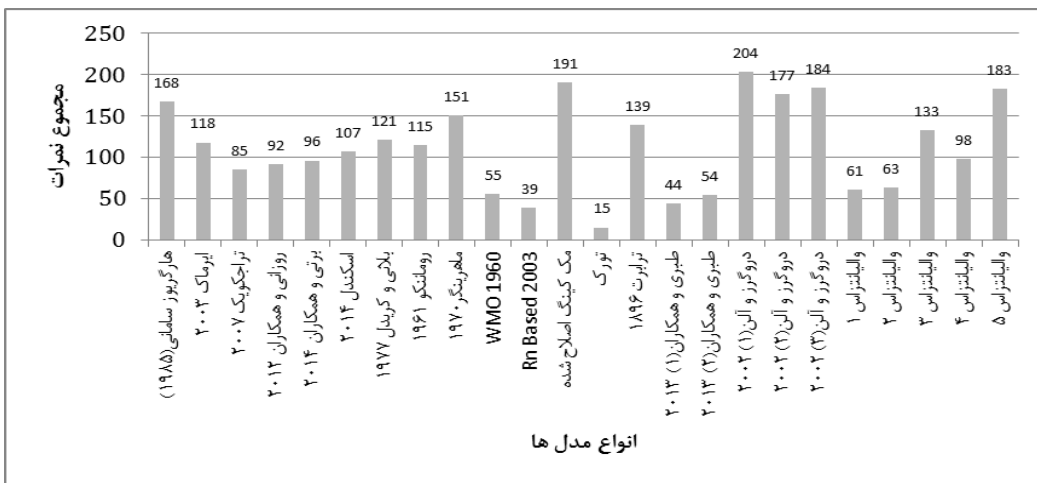
شکل‌های ۲-۴ مجموع نمره‌های داده شده به هر مدل را در همه اقلیم‌های مطالعه شده، براساس شاخص‌های



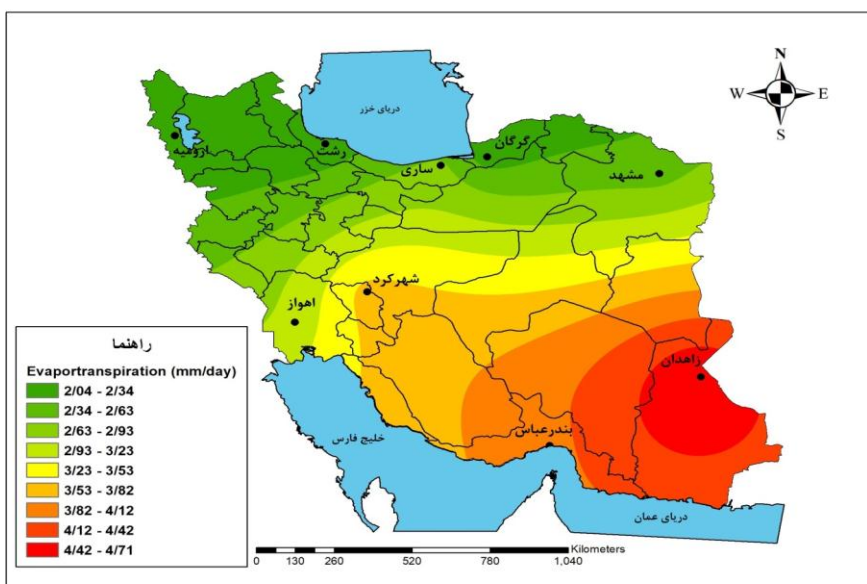
شکل ۲. رتبه‌بندی مدل‌ها براساس آماره میانگین مربعات خطأ (RMSE)



شکل ۳. رتبه‌بندی مدل‌ها براساس آماره میانگین خطای مطلق (MAE)



شکل ۴. رتبه‌بندی مدل‌ها براساس آماره درصد خطای تخمین (PE)



شکل ۵. نقشه پهنه‌بندی تبخیر و تعرق مرجع با استفاده از کریجینگ با داده‌های مدل‌های برتر

- climates. Water resources management,2010; 24(10):2311-2337. [Persian]
- [4].Azhar A.H, Perera B.J.C. Evaluation of reference evapotranspiration estimation methods under Southeast Australian conditions. Journal of Irrigation and Drainage Engineering. 2010; 137(5):268-279.
- [5].Mehdi Zadeh S, Rakhshani F, Bahmanesh J, Delir Hassannia R. Analysis of the Accuracy of Five Different Models of Valiantzas's Relationship in the Estimation of Reference Evapotranspiration. Irrigation Science and Engineering,2017; 41 (3): 132-119. [Persian]
- [6].Namdarian K, Naseri A.A, Izadpanah Z, Maleki A. Comparison of FAO Penman-Monteith method and Class A evaporation pan with lysimetric data Estimation of evapotranspiration of chickpea in Khorramabad region, Iranian Journal of Cereals Research, 2014;6(1):92-99. [Persian]
- [7].Djaman K, Balde A.B, Sow A, Muller B, Irmak S, N'Diaye M.K, Manneh B, Moukoumbi Y.D, Futakuchi K, Saito K. Evaluation of sixteen reference evapotranspiration methods under sahelian conditions in the Senegal River Valley. J. Hydrol. Region. Stud. 2015; 3: 139-159.
- [8].Khoshhal J, Zare Abyane H, Joshani A.R, Khazaei M. Evaluation of potential Evapotranspiration methods using FAO pan method in east and southeast the Keshvar watershed. Quarterly of Natural Geographical.2008; 8: 28. 1-16. [Persian]
- [9]Sabziparvar A.A, Tabari H. Regional estimation of reference evapotranspiration in arid and semi-arid regions. J. Irrig. Drain. Engin.2010; 136(10): 724-731.
- [10].Ghorbani KH, Aligholinia, T, Rasouli Majd N. Evaluating the accuracy of the twenty experimental models of estimation of evapotranspiration of the reference plant for coastal areas in different climates. Water and soil conservation research.2017; 25 (4): 320-307. [Persian]
- [11].Djaman K, Irmak S, Kabenge I, Futakuchi K. Evaluation of FAO-56 penman-monteith model with limited data and the valiantzas models for estimating grass-reference evapotranspiration in Sahelian conditions. Journal of Irrigation and Drainage Engineering, 2016; 142(11):04016044.
- [12].Irmak S, Irmak A, Allen R.G, Jones, J.W. Solar and net radiation-based equations to estimate reference evapotranspiration in humid climates. Journal of Irrigation and Drainage Engineering.2003; 129(5): 336-347.

### نتیجه‌گیری

برای تخمین دقیق مقدار آب مورد نیاز گیاهان، به اندازه‌گیری‌های پارامترهای متعدد هواشناسی احتیاج داریم. معمولاً، این داده‌ها همیشه در دسترس نیستند. برای حل این مشکل می‌توان از مدل‌های با داده‌های کمتر استفاده کرد که همان نتایج را ارائه می‌کند. بنابراین، در مطالعه حاضر با استفاده از اطلاعات آماری پارامترهای ایستگاه هواشناسی نه شهر کشور با اقلیم‌های مختلف آب و هوایی در دوره آماری (۱۳۹۶-۱۳۶۷) تبخیر و تعرق به روش فانو-پنمن-مانتبث به صورت روزانه محاسبه شده و با ۲۴ مدل تجربی دیگر مقایسه شد. نتایج نشان داد در اقلیم‌های ارومیه، شهرکرد، اهواز، مشهد، زاهدان مدل مک‌کینگ اصلاح شده، در اقلیم‌های نوار ساحلی کشور شامل گرگان، ساری و رشت مدل دروغز و آلن ۱ و در اقلیم بندرعباس مدل والیانتزاس ۵ به عنوان مدل برتر انتخاب شدند. در مجموع، با توجه به نمره‌های کسب شده توسط هر مدل، مدل‌های مک‌کینگ اصلاح شده، دروغز و آلن ۱ و ۲ و ۳، والیانتزاس ۵ و هارگریوز سامانی (۱۹۸۵) به عنوان چند مدل برتر برای برآورد تبخیر و تعرق گیاه مرجع در اقلیم‌های مختلف ایران معرفی می‌شوند. روش‌های تورک، طبری و همکاران ۱ (۲۰۱۳)، Rn Based (2003) و WMO نیز بدترین برآورد را داشتند و برای اقلیم‌های مطالعه شده در ایران توصیه نمی‌شوند. بنابراین، با توجه به پهناور بودن کشور ایران و اقلیم‌های متفاوت آن، پیشنهاد می‌شود تبخیر و تعرق در همه اقلیم‌ها و شهرها با مدل‌های ارائه شده درخصوص اندازه‌گیری تبخیر و تعرق محاسبه شود و مدل‌های برتر در هر اقلیم مشخص و برای کارهای تحقیقاتی معرفی شوند.

### منابع

- [1].Gundekar H. G. Khodke U. M, Sarkar S. Evaluation of pan coefficient for reference crop evapotranspiration for semi-arid region. Irrigation Science. 2008; 26: 169-175.
- [2].Alizadeh A, Kamali GH, Khanjani M. J. Air and Climatology. Estimation of Evapotranspiration Estimation Methods in Arid Regions of Iran, Geographical Research Magazine,2004; 105: 73-97. [Persian]
- [3].Tabari H. Evaluation of reference crop evapotranspiration equations in various

- [13]. Trajkovic S, Kolakovic S. Evaluation of reference evapotranspiration equations under humid conditions. Water Resources Management,2009; 23(14) : 3057-3067.
- [14].Kisi O. Comparison of different empirical methods for estimating daily reference evapotranspiration in Mediterranean climate. Journal of Irrigation and Drainage Engineering,2013; 140(1),2655-2677.
- [15].Droogers P. Allen R.G. Estimating reference evapotranspiration under inaccurate data conditions. Irrigation and Drainage Systems, 2002; 16(1): 33-45.
- [16].Rauf M, Azizi Makar J. Evaluation of Eighteen Model of Reference Evapotranspiration in Ardabil Plain. Water and soil conservation research.2017; 24 (6): 240-227. [Persian]
- [17].Temesgen B., Eching S, Davidoff B. Frame K. Comparison of some reference Evapotranspiration equations for California, Journal of Irrigation and Drainage Engineering. 2005; 131(1): 73-84.